

# 几种合成铁锰铝氧化物对铜离子的吸附作用及其影响因素研究

王 帅<sup>1</sup>, 张晋京<sup>1</sup>, 窦 森<sup>1</sup>, 王玉军<sup>1</sup>, 谢忠雷<sup>2</sup>

(1. 吉林农业大学资源与环境学院, 吉林 长春 130118; 2. 吉林大学环境与资源学院, 吉林 长春 130026)

**摘要:**应用平衡吸附法,研究了在不同的 pH、离子强度、温度、Cu<sup>2+</sup>浓度及接触时间条件下,针铁矿、赤铁矿、δ-MnO<sub>2</sub>和三羟铝石对 Cu<sup>2+</sup>的吸附作用。结果表明,随 pH 升高,几种氧化物对 Cu<sup>2+</sup>的吸附率增大;针铁矿、赤铁矿和三羟铝石对 Cu<sup>2+</sup>的吸附边界 pH 分别为 4、5 和 4,而 δ-MnO<sub>2</sub> 的吸附边界 pH 不明显;随离子强度增大,针铁矿和赤铁矿对 Cu<sup>2+</sup>的吸附量增加,而 δ-MnO<sub>2</sub> 和三羟铝石则降低;随 Cu<sup>2+</sup>浓度增加,几种氧化物对 Cu<sup>2+</sup>的吸附量增加,Langmuir 方程的拟合效果最好。表观热力学参数指出,几种氧化物对 Cu<sup>2+</sup>的吸附是自发、吸热和混乱度增加的过程;几种氧化物对 Cu<sup>2+</sup>的吸附动力学过程可划分为快速和慢速反应阶段,Elovich 方程更适于描述针铁矿和 δ-MnO<sub>2</sub> 对 Cu<sup>2+</sup>的吸附动力学过程,双常数和抛物线扩散方程更适于赤铁矿,而一级动力学方程更适于三羟铝石。活化能和活化热力学参数指出,δ-MnO<sub>2</sub> 对 Cu<sup>2+</sup>吸附所需能量少、容易达到有序态,吸附速率大;而赤铁矿对 Cu<sup>2+</sup>吸附所需能量多、不易达到有序态,吸附速率小。几种氧化物对 Cu<sup>2+</sup>吸附的强弱顺序通常为 δ-MnO<sub>2</sub>>三羟铝石>针铁矿>赤铁矿。

**关键词:**针铁矿;赤铁矿;δ-MnO<sub>2</sub>;三羟铝石;铜;吸附;影响因素

**中图分类号:**X131.3    **文献标识码:**A    **文章编号:**1672-2043(2008)03-0937-07

## Adsorption of Cu(II) on Synthetic Fe, Mn, Al-Oxides Minerals and Its Influencing Factors

WANG Shuai<sup>1</sup>, ZHANG Jin-jing<sup>1</sup>, DOU Sen<sup>1</sup>, WANG Yu-jun<sup>1</sup>, XIE Zhong-lei<sup>2</sup>

(1. College of Resources and Environmental Sciences, Jilin Agricultural University, Changchun 130118, China; 2. College of Environment and Resources, Jilin University, Changchun 130026, China)

**Abstract:** Adsorption processes of Cu<sup>2+</sup> on synthetic goethite, hematite, δ-MnO<sub>2</sub> and bayerite were studied by batch equilibrium at different pH, ionic strength, temperature, Cu<sup>2+</sup> concentration and contact time. The results showed that the adsorption of Cu<sup>2+</sup> increased with an increase of solution pH from 2 to 8. The threshold pH values of Cu<sup>2+</sup> adsorption were 4, 5 and 4 for goethite, hematite and bayerite respectively, but, it was not obvious for δ-MnO<sub>2</sub>. With an increase of ionic strength, the adsorption of Cu<sup>2+</sup> increased on goethite and hematite while it decreased on δ-MnO<sub>2</sub> and bayerite. The amount adsorbed increased with an increase of the Cu<sup>2+</sup> concentration. The Langmuir model was better than the Freundlich and Temkin models for describing the Cu<sup>2+</sup> adsorption isotherms. The adsorption processes of Cu<sup>2+</sup> were spontaneous and endothermic with higher disorder. The adsorption of Cu<sup>2+</sup> could be divided into two stages: rapid and slow adsorption, and the Elovich model can be used to describe the Cu<sup>2+</sup> adsorption rate on goethite and δ-MnO<sub>2</sub>, the dual-constant and parabola model for hematite and the first-order kinetic model for bayerite respectively. The activation energy (*E*) and the activation thermodynamic parameters ( $\Delta G^\#$ ,  $\Delta H^\#$ ,  $\Delta S^\#$ ) indicated that Cu<sup>2+</sup> adsorption had the least energy requirement and the highest adsorption rate on δ-MnO<sub>2</sub>, while the greatest energy requirement and the lowest adsorption rate were appeared on hematite. In general, the adsorption affinity of these oxides to Cu<sup>2+</sup> were in order of δ-MnO<sub>2</sub>>bayerite>goethite>hematite.

**Keywords:** goethite; hematite; δ-MnO<sub>2</sub>; bayerite; copper; adsorption; influencing factor

---

收稿日期:2007-08-30

基金项目:国家自然科学基金(40471076);吉林农业大学博士后基金

作者简介:王 帅(1982—),男,硕士研究生,研究方向为土壤环境化学。E-mail:wangshuai419@126.com

通讯作者:张晋京 E-mail:zhangjingjing@126.com

$\text{Cu}^{2+}$ 既是营养元素又是污染元素,其在土壤中的行为,很大程度上取决于它和土壤组分之间的相互作用关系。吸附作用是  $\text{Cu}^{2+}$  和土壤组分之间发生的最重要的相互作用,决定着  $\text{Cu}^{2+}$  在土壤中的累积、迁移和转化过程,进而也影响着其生物有效性和毒性。铁、锰、铝氧化物是土壤矿物的重要组成部分,具有比表面大、表面活性功能团多、电荷可变性强的特点,因此对  $\text{Cu}^{2+}$  的吸附具有极其重要的作用<sup>[1]</sup>。

针铁矿、赤铁矿、 $\delta\text{-MnO}_2$  和三羟铝石,是土壤中重要的铁、锰、铝氧化物。目前,关于这些氧化物对  $\text{Cu}^{2+}$  吸附作用的研究较多<sup>[2-7]</sup>,但它们之间吸附作用差异的比较研究较少<sup>[8,9]</sup>,并且现有的研究结果也不尽相同,如有研究表明氧化物对  $\text{Cu}^{2+}$  的吸附量随离子强度而变化<sup>[4,16]</sup>,但也有研究指出氧化物对  $\text{Cu}^{2+}$  的吸附量与离子强度无关<sup>[9,17,18]</sup>;而有关这些氧化物在不同环境因素条件下,对  $\text{Cu}^{2+}$  吸附作用及其差异的系统研究更少见报道。本研究的目的在于系统地研究不同 pH、离子强度、温度、接触时间等条件下,上述 4 种人工合成氧化物对  $\text{Cu}^{2+}$  的吸附规律及其差异,为阐明  $\text{Cu}^{2+}$  的环境行为和保护土壤生态环境提供理论依据。

## 1 材料与方法

### 1.1 供试材料

供试氧化物包括针铁矿(Goethite,  $\alpha\text{-FeOOH}$ )、赤铁矿(Hematite,  $\alpha\text{-Fe}_2\text{O}_3$ )、 $\delta\text{-MnO}_2$  和三羟铝石(Bayerite,  $\beta\text{-Al(OH)}_3$ )。

针铁矿参照 Atkinson 等<sup>[10]</sup>的方法合成:称取  $\text{Fe}(\text{NO}_3)_3 \cdot 9\text{H}_2\text{O}$  50 g 于广口塑料瓶中,加入 825 mL 蒸馏水使之溶解,在不断搅拌下缓慢滴加 2.5 mol·L<sup>-1</sup> NaOH 溶液至悬液 pH 11.9,60 ℃陈化 48 h。

赤铁矿参照 Cornell and Schwertmann<sup>[11]</sup>的方法合成:将 0.02 mol·L<sup>-1</sup>  $\text{Fe}(\text{NO}_3)_3 \cdot 9\text{H}_2\text{O}$  溶液加入到 98 ℃的 0.002 mol·L<sup>-1</sup> 的 HCl 溶液中,98 ℃放置 7 d。

$\delta\text{-MnO}_2$  参照 Parida<sup>[12]</sup> 等的方法合成:取 180 g  $\text{MnSO}_4 \cdot \text{H}_2\text{O}$  溶解到 1 500 mL 浓度为 29 mmol·L<sup>-1</sup> 的  $\text{H}_2\text{SO}_4$  溶液中,另取 120 g  $\text{KMnO}_4$  溶于 1 500 mL 蒸馏水中并在搅拌下将该溶液缓慢加入到  $\text{MnSO}_4$  溶液中。

三羟铝石参照 Hsu<sup>[13]</sup>的方法合成:将 0.18 mol·L<sup>-1</sup> 的 KOH 溶液以 3 mL·min<sup>-1</sup> 的速度滴加到 0.06 mol·L<sup>-1</sup> 的  $\text{Al}(\text{NO}_3)_3$  溶液中,并不断搅拌,直到悬液 pH 9.0,室温下老化 30 d。

以上合成的所有氧化物均用蒸馏水反复洗涤至近中性,然后在玻璃纸半透膜中渗析至膜外液体的电

导率与蒸馏水的电导率接近,然后于 60 ℃下烘干,磨细过 0.1 mm 筛备用。

### 1.2 试验方法

称取合成矿物粉末 0.1 g 于 25 mL 塑料离心管中,采用平衡吸附法,分别研究它们在不同 pH、离子强度、温度、 $\text{Cu}^{2+}$  浓度和接触时间条件下对  $\text{Cu}^{2+}$  的吸附作用。具体条件设置如下:(1)不同 pH 系列吸附试验。pH 分别设为 2、3、4、5、6、7 和 8 (用 0.1 mol·L<sup>-1</sup>  $\text{HNO}_3$  和 0.1 mol·L<sup>-1</sup> NaOH 调节),  $\text{Cu}^{2+}$  浓度为 400 mg·L<sup>-1</sup>, 支持电解质( $\text{NaNO}_3$ )浓度为 0.1 mol·L<sup>-1</sup>, 温度为 25 ℃, 最终溶液体积为 25.00 mL。(2)不同离子强度系列吸附试验。 $\text{NaNO}_3$  浓度分别设为 0.01、0.05、0.10、0.20、0.40、0.60、0.80 和 1.00 mol·L<sup>-1</sup>,  $\text{Cu}^{2+}$  浓度为 400 mg·L<sup>-1</sup>, 温度为 25 ℃, 不调节体系 pH, 最终溶液体积为 25.00 mL。(3)等温吸附试验。温度分别设为 25 ℃和 35 ℃,  $\text{Cu}^{2+}$  浓度分别设为 0、10、20、40、60、80、100、200、400、600、800 和 1 000 mg·L<sup>-1</sup>,  $\text{NaNO}_3$  浓度为 0.1 mol·L<sup>-1</sup>, 不调节体系 pH, 最终溶液体积为 25.00 mL。以上 3 组吸附试验的平衡时间为 24 h, 即恒温振荡 10 h 后再静置 14 h。(4)吸附动力学试验。温度分别设为 25 ℃和 35 ℃, 接触时间分别设为 10、30、60、120、240、360、480、720 和 1 440 min,  $\text{Cu}^{2+}$  浓度为 400 mg·L<sup>-1</sup>,  $\text{NaNO}_3$  浓度为 0.1 mol·L<sup>-1</sup>, 不调节体系 pH, 最终溶液体积为 25.00 mL。

以上所有吸附试验均在 HZS-H 水浴振荡器上进行,吸附达规定时间后,取出离心管并高速离心分离(12 000 r·min<sup>-1</sup>),以 TAS-990 原子吸收分光光度计测定上清液中的  $\text{Cu}^{2+}$  浓度,根据  $\text{Cu}^{2+}$  的初始浓度与平衡浓度之差计算矿物粉末对  $\text{Cu}^{2+}$  的吸附量。

### 1.3 数据处理

#### 1.3.1 表观热力学参数

根据 Langmuir 方程的拟合结果,按照下列公式(1)~(3)计算吸附反应的表观热力学参数<sup>[14]</sup>:

$$\Delta G = -RT \ln k_L l$$

$$\Delta H = R[T_2 T_1 / (T_2 - T_1)] \cdot \ln(k_{L(T_2)} / k_{L(T_1)}) \quad (2)$$

$$\Delta S = (\Delta H - \Delta G) / T \quad (3)$$

式中: $\Delta G$ 、 $\Delta H$ 、 $\Delta S$  分别为表观自由能变(kJ·mol<sup>-1</sup>)、表观焓变(kJ·mol<sup>-1</sup>)、表观熵变(J·mol<sup>-1</sup>·K<sup>-1</sup>), $R$  为气体常数(8.314 J·mol<sup>-1</sup>·K<sup>-1</sup>), $T$  为绝对温度(K), $k_L$  为 Langmuir 方程中的平衡常数(L·mol<sup>-1</sup>)。

#### 1.3.2 活化能和活化热力学参数

根据一级动力学方程的拟合结果,按照下列公式(4)~(7)计算吸附反应的活化能和活化热力学参数<sup>[11]</sup>:

$$E=2.303R(\lg k_{D(T_2)}-\lg k_{D(T_1)})/[(T_2-T_1)/T_1T_2](4)$$

$$\Delta G^\#=-RT\ln(k_Bh/k_BT)(5)$$

$$\Delta H^\#=E-RT(6)$$

$$\Delta S^\#=(\Delta H^\#-\Delta G^\#)/T(7)$$

式中: $E$ 、 $\Delta G^\#$ 、 $\Delta H^\#$ 、 $\Delta S^\#$  分别为活化能( $\text{kJ}\cdot\text{mol}^{-1}$ )、活化自由能( $\text{kJ}\cdot\text{mol}^{-1}$ )、活化焓( $\text{kJ}\cdot\text{mol}^{-1}$ )、活化熵( $\text{J}\cdot\text{mol}^{-1}\cdot\text{K}^{-1}$ )， $k_D$  为一级动力学方程中的反应速率常数( $\text{s}^{-1}$ )， $k_B$  为玻尔兹曼常数 ( $1.38\times 10^{-23}\text{ J}\cdot\text{k}^{-1}$ )， $h$  为普朗克常数 ( $6.62\times 10^{-34}\text{ J s}$ )， $R$ 、 $T$  的意义同前。

## 2 结果与讨论

### 2.1 pH 对 $\text{Cu}^{2+}$ 吸附的影响

本文中  $\text{Cu}^{2+}$  吸附率定义为被吸附  $\text{Cu}^{2+}$  的量占初始  $\text{Cu}^{2+}$  加入量的百分数。由图 1 可见, 低 pH 时, 几种氧化物对  $\text{Cu}^{2+}$  的吸附率较低; 随 pH 升高, 由于氧化物表面性质的改变以及金属离子的水解作用等原因<sup>[7]</sup>, 使得它们对  $\text{Cu}^{2+}$  的吸附率增大。

具体来看, pH 为 2 时, 针铁矿、赤铁矿、 $\delta\text{-MnO}_2$  和三羟铝石对  $\text{Cu}^{2+}$  的吸附率相差不大, 分别为 11.8%、10.9%、14.7% 和 11.1%; pH 为 3~4 范围内,  $\delta\text{-MnO}_2$  的吸附率(35.8%~49.9%)明显高于其他三种氧化物(15.7%~25.3%); pH 为 5 时, 仍然是  $\delta\text{-MnO}_2$  的吸附率(82.4%)最高, 其次分别为三羟铝石(60.7%)>针铁矿(39.3%)>赤铁矿(24.5%); pH 为 6 时, 几种氧化物的吸附率均在 90% 以上; 至 pH 为 7 时, 所有氧化物的吸附率均已接近 100%。针铁矿、赤铁矿和三羟铝石对  $\text{Cu}^{2+}$  的吸附边界 pH 分别为 4.5、4, 而  $\delta\text{-MnO}_2$  的吸附边界 pH 不明显。以上结果均与现有的研究结果基本一致<sup>[4, 9, 15]</sup>。

### 2.2 离子强度对 $\text{Cu}^{2+}$ 吸附的影响

由图 2 可见, 随离子强度增大, 针铁矿和赤铁矿

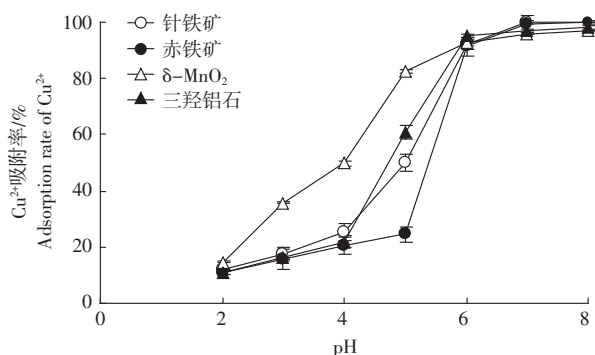


图 1 不同初始 pH 条件下铁、锰、铝氧化物对  $\text{Cu}^{2+}$  的吸附率

Figure 1 Adsorption rates of  $\text{Cu}^{2+}$  on Fe, Mn, Al-oxides at different initial pHs

对  $\text{Cu}^{2+}$  的吸附量增加, 而  $\delta\text{-MnO}_2$  和三羟铝石对  $\text{Cu}^{2+}$  的吸附量则降低。在不同的离子强度范围内, 几种氧化物对  $\text{Cu}^{2+}$  的吸附量也不同:(1) 在各离子强度下,  $\delta\text{-MnO}_2$  对  $\text{Cu}^{2+}$  的吸附量均高于其他 3 种氧化物。(2) 赤铁矿与针铁矿相比, 在离子强度 0.40  $\text{mol}\cdot\text{L}^{-1}$  之前, 针铁矿对  $\text{Cu}^{2+}$  的吸附量高于赤铁矿; 离子强度达 0.40  $\text{mol}\cdot\text{L}^{-1}$  时, 两者对  $\text{Cu}^{2+}$  的吸附量基本相同; 而当离子强度超过 0.40  $\text{mol}\cdot\text{L}^{-1}$  时, 赤铁矿对  $\text{Cu}^{2+}$  的吸附量反而高于针铁矿。(3) 与针铁矿和赤铁矿相比, 在离子强度 0.01~0.05  $\text{mol}\cdot\text{L}^{-1}$  范围内, 三羟铝石对  $\text{Cu}^{2+}$  的吸附量较高于针铁矿和赤铁矿; 离子强度达 0.10  $\text{mol}\cdot\text{L}^{-1}$  时, 三羟铝石对  $\text{Cu}^{2+}$  的吸附量介于针铁矿和赤铁矿之间; 而当离子强度在 0.20~1.00  $\text{mol}\cdot\text{L}^{-1}$  范围内时, 三羟铝石对  $\text{Cu}^{2+}$  的吸附量反而低于针铁矿和赤铁矿。

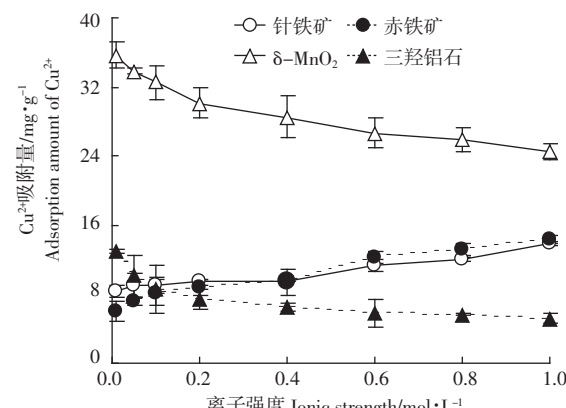


图 2 不同离子强度条件下铁、锰、铝氧化物对  $\text{Cu}^{2+}$  的吸附量

Figure 2 Adsorption amounts of  $\text{Cu}^{2+}$  on Fe, Mn, Al-oxides at different ionic strengths

邹卫华等<sup>[4]</sup>的研究表明, 随支持电解质( $\text{NaNO}_3$ )浓度增加, 合成  $\delta\text{-MnO}_2$  对  $\text{Cu}^{2+}$  的吸附量减少。周代华等<sup>[16]</sup>的研究认为, 随支持电解质( $\text{KNO}_3$ )浓度增加, 合成针铁矿对  $\text{Cu}^{2+}$  的吸附量增加, 这些与本研究的结果一致。但也有研究发现, 针铁矿和赤铁矿对  $\text{Cu}^{2+}$  的吸附与离子强度无关<sup>[9, 17, 18]</sup>。

### 2.3 $\text{Cu}^{2+}$ 离子的吸附等温线

由图 3 可见, 随平衡液中  $\text{Cu}^{2+}$  浓度的增加, 几种氧化物对  $\text{Cu}^{2+}$  的吸附量均增加。低浓度时, 吸附量增加很快, 到某一浓度时, 吸附量的增加开始变慢。随温度增加, 氧化物对  $\text{Cu}^{2+}$  的吸附量均呈增大趋势, 表明  $\text{Cu}^{2+}$  在氧化物表面的反应是吸热过程<sup>[19]</sup>。

几种氧化物相比,  $\delta\text{-MnO}_2$  对  $\text{Cu}^{2+}$  的吸附量高于其他 3 种氧化物; 而针铁矿的吸附量通常高于赤铁矿, 尤其在较高浓度下更为明显。在 40  $\text{mg}\cdot\text{L}^{-1}$  以下三

羟铝石的吸附量低于针铁矿和赤铁矿,40 mg·L<sup>-1</sup>以上则三羟铝石的吸附量超过了针铁矿和赤铁矿。林玉锁的研究表明,合成针铁矿对 Cu<sup>2+</sup>的吸附率高于赤铁矿<sup>[8]</sup>,也与本文的研究结果相互印证。

分别应用 Freundlich、Langmuir 和 Temkin 方程,

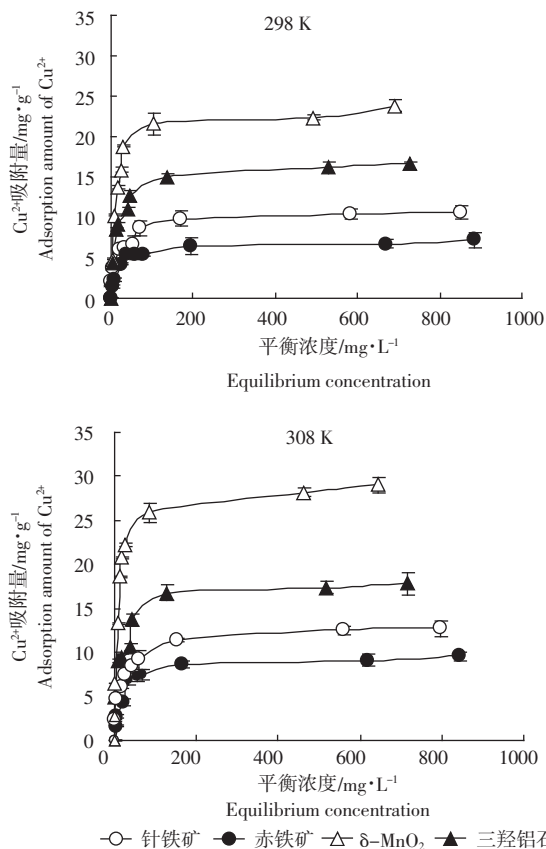


图3 不同温度条件下铁、锰、铝氧化物对 Cu<sup>2+</sup>的吸附等温线

Figure 3 Adsorption isotherms of Cu<sup>2+</sup> on Fe, Mn, Al-oxides at different temperatures

对 Cu<sup>2+</sup>在几种氧化物上的吸附等温线进行了拟合,结果见表 1。由表 1 可以看出,3 种吸附方程拟合的相关系数均达到了显著性水平( $P<0.01$ ),说明它们都能很好描述氧化物对 Cu<sup>2+</sup>的吸附特征。在 3 种吸附方程中,Langmuir 方程的拟合效果最好,该模型拟合的 Cu<sup>2+</sup>最大吸附量( $Y_m$ )顺序为  $\delta\text{-MnO}_2 >$ 三羟铝石>针铁矿>赤铁矿,与不同矿物对 Cu<sup>2+</sup>吸附等温线的高低顺序一致。

由表 2 可见,几种氧化物对 Cu<sup>2+</sup>吸附的表观热力学参数  $\Delta G<0$ 、 $\Delta H>0$ 、 $\Delta S>0$ ,说明它们对 Cu<sup>2+</sup>的吸附是自发、吸热和混乱度增加的过程。随温度升高,  $\Delta G$  有所降低,说明增温有利于吸附的自发性,  $\Delta H$  为正值也支持这一点。几种氧化物相比,  $\Delta G$  的顺序为  $\delta\text{-MnO}_2 <$ 三羟铝石<针铁矿<赤铁矿,  $\Delta H$  为赤铁矿<针铁矿<三羟铝石< $\delta\text{-MnO}_2$ ,  $\Delta S$  为赤铁矿<针铁矿<三羟铝石< $\delta\text{-MnO}_2$ , 这表明  $\delta\text{-MnO}_2$  对 Cu<sup>2+</sup>吸附的自发性最高,但需要热能最多且混乱度最大,其吸附的自发性主要决定于熵增,也即意味着 Cu<sup>2+</sup>在  $\delta\text{-MnO}_2$  上的吸附力小、活性大、容易解吸;而赤铁矿则相反,对于

表 2 铁、锰、铝氧化物吸附 Cu<sup>2+</sup>的热力学参数

Table 2 Thermodynamic parameters for adsorption of Cu<sup>2+</sup> on Fe, Mn, Al-oxides

氧化物	T/K	$\Delta G/\text{kJ}\cdot\text{mol}^{-1}$	$\Delta H/\text{kJ}\cdot\text{mol}^{-1}$	$\Delta S/\text{J}\cdot\text{mol}^{-1}\cdot\text{K}^{-1}$
针铁矿	298	-20.38	2.107	75.44
	308	-21.13		
赤铁矿	298	-20.20	0.826	70.54
	308	-20.90		
$\delta\text{-MnO}_2$	298	-21.49	22.52	147.7
	308	-22.96		
三羟铝石	298	-20.92	6.754	92.87
	308	-21.85		

表 1 铁、锰、铝氧化物对 Cu<sup>2+</sup>的吸附等温线参数( $n=9$ )

Table 1 Parameters of adsorption isotherm models for Cu<sup>2+</sup> on Fe, Mn, Al-oxides

氧化物	T/K	Freundlich			Langmuir			Temkin		
		$k_F$	$n$	$r$	$Y_m$	$k_L$	$r$	$A$	$B$	$r$
针铁矿	298	2.400	3.971	0.939 5**	10.78	0.058	0.999 7**	1.523	1.443	0.978 0**
	308	2.968	4.062	0.942 3**	12.92	0.060	0.999 7**	1.988	1.691	0.988 4**
赤铁矿	298	1.592	3.951	0.915 5**	7.205	0.054	0.999 2**	0.945	0.982	0.964 1**
	308	1.803	3.494	0.919 1**	9.643	0.055	0.999 5**	0.876	1.395	0.960 6**
$\delta\text{-MnO}_2$	298	4.286	3.169	0.896 2**	23.70	0.091	0.999 4**	3.776	3.352	0.960 9**
	308	6.030	3.349	0.869 4**	29.16	0.123	0.999 9**	6.538	3.891	0.961 0**
三羟铝石	298	3.286	3.488	0.914 4**	16.81	0.073	0.999 8**	2.387	2.327	0.981 6**
	308	3.755	3.632	0.921 0**	18.02	0.079	0.999 7**	2.947	2.432	0.976 5**

注:  $Y$  为吸附量( $\text{mg}\cdot\text{g}^{-1}$ );  $Y_m$  为最大吸附量( $\text{mg}\cdot\text{g}^{-1}$ );  $n$ 、 $k_F$ 、 $k_L$ 、 $A$ 、 $B$ 、 $Y_m$  为模型拟合常数;  $r$  为相关系数

Note:  $Y$ : the amount of adsorption ( $\text{mg}\cdot\text{g}^{-1}$ );  $Y_m$ : the maximum amount of adsorption ( $\text{mg}\cdot\text{g}^{-1}$ );  $n$ ,  $k_F$ ,  $k_L$ ,  $A$ ,  $B$  and  $Y_m$ : parameters of adsorption isotherm models;  $r$ : correlation coefficient

$\text{Cu}^{2+}$ 的吸附力大、活性小、不易解吸。

#### 2.4 $\text{Cu}^{2+}$ 的吸附动力学曲线

由图 4 可以看到, 几种氧化物对  $\text{Cu}^{2+}$  的吸附动力学曲线具有共性。反应开始阶段(0~120 min), 氧化物对  $\text{Cu}^{2+}$  的吸附量迅速增加; 此后(120~1440 min),  $\text{Cu}^{2+}$  吸附量的增加幅度变小。由此可把氧化物对  $\text{Cu}^{2+}$  的吸附过程划分为两个阶段, 即开始时的快速反应阶段和经过一段时间后的慢速反应阶段。

选择 4 种动力学方程<sup>[20]</sup>拟合了  $\text{Cu}^{2+}$  的吸附动力学过程。由表 3 可见, 几种动力学方程的拟合结果均达到了极显著水平, 说明这几种方程都可以用来描述氧化物矿物对  $\text{Cu}^{2+}$  的吸附动力学。对于针铁矿和  $\delta\text{-MnO}_2$ , 用 Elovich 方程描述较为合适, 对于赤铁矿, 用双常数方程和抛物线扩散方程描述较为合适, 而对于三羟铝石, 则用一级动力学方程描述更为合适。

表 4 是以一级动力学方程拟合参数计算所得的几种氧化矿物对  $\text{Cu}^{2+}$  吸附的活化能和活化热力学参

数。结果表明,  $E$  值的大小顺序为赤铁矿>针铁矿>三羟铝石> $\delta\text{-MnO}_2$ , 说明赤铁矿吸附  $\text{Cu}^{2+}$  需要克服的能量最大, 吸附速率最低, 而  $\delta\text{-MnO}_2$  正好相反, 吸附  $\text{Cu}^{2+}$  需要克服的能量最小, 吸附速率最高, 这与图 4 所反映的规律性是一致的。根据  $E$  值, 应用过渡态理论进一步计算出吸附反应的活化热力学参数<sup>[1]</sup>, 结果见表 4。活化热力学参数是由反应动力学方程的速率常数获得的动力学参数, 是反应物形成活化复合物过程中能量变化的量度, 与前述由吸附等温线得到的热力学参数是有区别的, 因此活化热力学参数通常又称为假热力学参数<sup>[21]</sup>。表 4 的活化热力学参数中, 活化自由能变( $\Delta G^\#$ ), 是由自由态  $\text{Cu}^{2+}$  转变为活化  $\text{Cu}^{2+}$  的自由能变, 它决定着反应的速率<sup>[1, 22]</sup>。 $\Delta G^\# > 0$ , 说明反应是需要能量的过程。几种氧化物  $\Delta G^\#$  的大小顺序为赤铁矿>针铁矿>三羟铝石> $\delta\text{-MnO}_2$ , 说明自由态  $\text{Cu}^{2+}$  转变为活化  $\text{Cu}^{2+}$  的活化自由能变依次减小, 相应的  $\text{Cu}^{2+}$  吸附速率依次增大; 活化焓变( $\Delta H^\#$ ), 是由自由态  $\text{Cu}^{2+}$  转

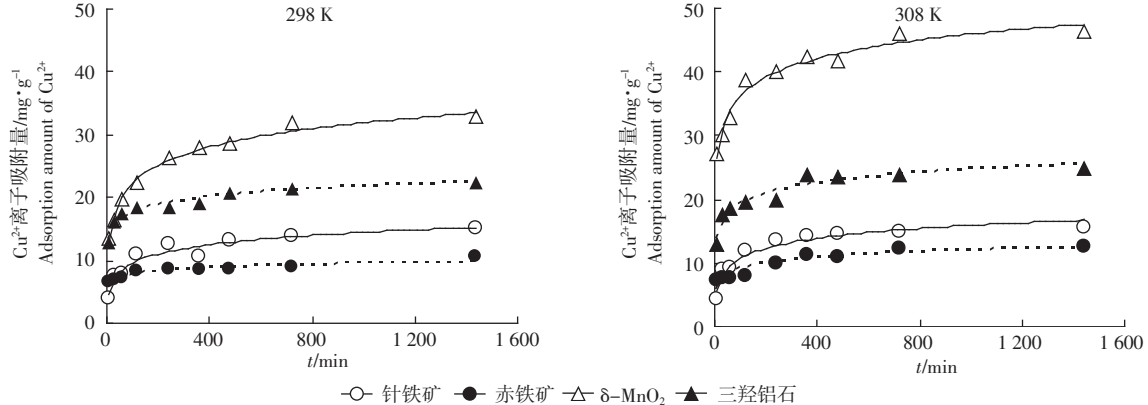


图 4 不同温度条件下铁、锰、铝氧化物对  $\text{Cu}^{2+}$  的吸附动力学曲线

Figure 4 Adsorption kinetic curves of  $\text{Cu}^{2+}$  on Fe, Mn, Al-oxides at different temperatures

表 3 铁、锰、铝氧化物吸附  $\text{Cu}^{2+}$  的动力学参数( $n=9$ )

Table 3 Kinetic parameters for adsorption of  $\text{Cu}^{2+}$  on Fe, Mn, Al-oxides

氧化物	T/K	Elovich 方程			一级动力学方程			双常数方程			抛物线扩散方程		
		$Y=A+B\ln t$			$\ln(1-Y/Y_m)=A+Bt$			$\ln Y=A+B\ln t$			$Y/Y_m=A+Bt^{1/2}$		
		A	B	r	A	B	r	A	B	r	A	B	r
针铁矿	298	8.440	2.140	0.964**	-0.668	-0.157	0.892**	2.045	0.246	0.940**	0.398	0.144	0.884**
	308	9.621	2.245	0.972**	-0.801	-0.225	0.943**	2.172	0.238	0.922**	0.485	0.144	0.845**
赤铁矿	298	7.490	0.701	0.949**	-1.172	-0.076	0.886**	2.007	0.087	0.963**	0.434	0.052	0.961**
	308	8.394	1.272	0.936**	-0.755	-0.189	0.976**	2.112	0.134	0.942**	0.442	0.095	0.950**
$\delta\text{-MnO}_2$	298	20.167	4.183	0.994**	-0.609	-0.217	0.985**	2.965	0.189	0.993**	1.003	0.291	0.913**
	308	34.145	4.202	0.984**	-0.923	-0.264	0.954**	3.516	0.116	0.983**	1.943	0.287	0.913**
三羟铝石	298	16.701	1.798	0.980**	-1.125	-0.170	0.967**	2.802	0.103	0.969**	0.651	0.083	0.913**
	308	18.114	2.327	0.968**	-1.069	-0.230	0.928**	2.877	0.123	0.959**	0.626	0.095	0.882**

注:  $Y$  为吸附量( $\text{mg}\cdot\text{g}^{-1}$ );  $t$  为时间(h);  $Y_m$  为最大吸附量( $\text{mg}\cdot\text{g}^{-1}$ );  $A$ 、 $B$  为拟合常数;  $r$  为相关系数。

Note:  $Y$ : the amount of adsorption ( $\text{mg}\cdot\text{g}^{-1}$ );  $t$ : time (h);  $Y_m$ : the maximum amount of adsorption ( $\text{mg}\cdot\text{g}^{-1}$ );  $A$  and  $B$ : parameters of fitness models;  $r$ : correlation coefficient

变为活化  $\text{Cu}^{2+}$  的焓变, 是参加反应的分子必须克服的势垒的量度<sup>[1,22]</sup>。 $\Delta H^\# > 0$ , 说明反应是吸热即耗能的过程。与  $\Delta G^\#$  一样, 几种氧化物  $\Delta H^\#$  的大小也为赤铁矿>针铁矿>三羟铝石> $\delta\text{-MnO}_2$ , 说明赤铁矿吸附  $\text{Cu}^{2+}$  需要的热能最多, 因而吸附速率最小; 而  $\delta\text{-MnO}_2$  吸附  $\text{Cu}^{2+}$  需要的热能最少, 所以吸附速率最大。另外, 随温度增加,  $\Delta H^\#$  值有所降低, 可能因为温度升高使  $\text{Cu}^{2+}$  的动能增大, 其与氧化物之间的作用力减弱, 因而吸附所需热能较小; 活化熵变( $\Delta S^\#$ ), 由自由态  $\text{Cu}^{2+}$  转变为活化  $\text{Cu}^{2+}$  的熵变, 是参加反应的分子所需势能鞍点宽度的量度, 也是吸附前后体系有序度或混乱度的量度, 也有人将其作为判断反应机制(缔合或解离)的指标<sup>[1,22]</sup>。 $\Delta S^\# < 0$ , 说明吸附后体系的有序度提高, 从机制而言是属于缔合反应。几种氧化物  $\Delta S^\#$  的大小顺序为赤铁矿>针铁矿>三羟铝石> $\delta\text{-MnO}_2$ , 说明  $\delta\text{-MnO}_2$  对  $\text{Cu}^{2+}$  的吸附最易达到有序, 因此吸附速率也最大。综上所述, 活化能与活化热力学参数所反映的规律一致, 即表明  $\delta\text{-MnO}_2$  对  $\text{Cu}^{2+}$  吸附所需能量少, 容易达到有序态, 因而吸附速率大; 而赤铁矿则相反, 对  $\text{Cu}^{2+}$  吸附所需能量多, 不易达到有序态, 所以吸附速率小, 这从能量角度解释了几种氧化物对  $\text{Cu}^{2+}$  具有不同吸附速率的原因。

表 4 铁、锰、铝氧化物吸附  $\text{Cu}^{2+}$  的活化能和活化热力学参数

Table 4 Activation energy and activation thermodynamic parameters for adsorption of  $\text{Cu}^{2+}$  on Fe, Mn, Al-oxides

氧化物	T/K	$E/\text{kJ}\cdot\text{mol}^{-1}$	$\Delta G^\#/ \text{kJ}\cdot\text{mol}^{-1}$	$\Delta H^\#/ \text{kJ}\cdot\text{mol}^{-1}$	$\Delta S^\#/ \text{J}\cdot\text{mol}^{-1}\cdot\text{K}^{-1}$
针铁矿	298	27.47	97.91	25.01	-244.5
	308		100.4	24.93	-244.8
赤铁矿	298	69.53	99.71	67.11	-109.4
	308		100.8	67.03	-109.7
$\delta\text{-MnO}_2$	298	14.96	97.11	12.50	-283.8
	308		99.95	12.41	-284.1
三羟铝石	298	23.07	97.71	20.61	-258.6
	308		100.3	20.53	-258.9

## 2.5 几种氧化物对 $\text{Cu}^{2+}$ 离子吸附作用的比较

本研究表明, 几种氧化物对  $\text{Cu}^{2+}$  的吸附量不同, 通常  $\delta\text{-MnO}_2$  的吸附量高于其他 3 种氧化物, 而针铁矿的吸附量又高于赤铁矿, 这种吸附量上的差异与它们各自的表面性质密切相关。一般来说, 锰氧化物不仅其比表面积大于铁、铝氧化物, 而且电荷零点(PZC,  $2.0 \pm 0.5$ )很低<sup>[1,15]</sup>, 在通常的土壤 pH 条件下显强的负电性, 结构表面具有较多的电荷, 因此能引起大量  $\text{Cu}^{2+}$  的吸附积累<sup>[1]</sup>; 另一方面, 赤铁矿和针铁矿的表面

形貌也不同, 赤铁矿中占优势的表面是不带电的惰性(001)面, 有活性点位的边面所占的比例很小, 而针铁矿的(010)、(100)和(110)面均含有相邻的单配位羟基, 且以(110)面为主, 因此针铁矿比赤铁矿的活性表面多、表面活性<sup>[1]</sup>和比表面积大<sup>[23,24]</sup>, 因此单位质量针铁矿的  $\text{Cu}^{2+}$  吸附量一般高于赤铁矿。另外, 表观热力学参数的结果指出,  $\text{Cu}^{2+}$  在  $\delta\text{-MnO}_2$  上的吸附力小、活动性大、容易解吸, 而在赤铁矿上的吸附力大、活动性小、不易解吸, 这是由于  $\text{Cu}^{2+}$  在  $\delta\text{-MnO}_2$  表面上是以角-角形式弱吸附为主<sup>[5]</sup>, 而在铁氧化物表面则是以边-边形式强吸附为主<sup>[25,26]</sup>的缘故。

此外, 在供试离子强度范围内, 随离子强度增大, 针铁矿和赤铁矿对  $\text{Cu}^{2+}$  的吸附量增加, 而  $\delta\text{-MnO}_2$  和三羟铝石对  $\text{Cu}^{2+}$  的吸附量降低, 这说明支持电解质对不同氧化物吸附  $\text{Cu}^{2+}$  的影响机制不同。对于针铁矿和赤铁矿, 两者的电荷零点(8.2~8.9)较高<sup>[1,27]</sup>, 支持电解质浓度升高后, 由于表面 OH<sup>-</sup>的释放以及电解质对双电层的压缩作用<sup>[16]</sup>, 可使得  $\text{Cu}^{2+}$  的吸附量增加; 而对于  $\delta\text{-MnO}_2$  和三羟铝石, 尽管后者的 PZC(8.2)也较高<sup>[1,27]</sup>, 但可能由于它对  $\text{Cu}^{2+}$  具有较强的电性吸附能力,  $\text{Na}^+$ 通过竞争作用占据了表面的负电荷点位, 从而导致  $\text{Cu}^{2+}$  的吸附量也减少。

## 3 结论

(1) 随 pH 增大, 几种氧化物对  $\text{Cu}^{2+}$  的吸附率增加。针铁矿、赤铁矿和三羟铝石对  $\text{Cu}^{2+}$  的吸附边界 pH 分别为 4、5、4, 而  $\delta\text{-MnO}_2$  则不明显。

(2) 随离子强度增大, 针铁矿和赤铁矿对  $\text{Cu}^{2+}$  的吸附量增加, 而  $\delta\text{-MnO}_2$  和三羟铝石则降低。

(3) 随温度升高和  $\text{Cu}^{2+}$  浓度增加, 几种氧化物对  $\text{Cu}^{2+}$  的吸附量增加, 以 Langmuir 方程拟合的效果为最好, 最大吸附量的顺序为  $\delta\text{-MnO}_2$ >三羟铝石>针铁矿>赤铁矿。 $\text{Cu}^{2+}$  在几种氧化物上的吸附是自发、吸热和混乱度增加的过程。

(4) 几种氧化物对  $\text{Cu}^{2+}$  的吸附动力学过程可划分为快速和慢速反应两个阶段。Elovich 方程更适于描述针铁矿和  $\delta\text{-MnO}_2$  对  $\text{Cu}^{2+}$  的吸附过程, 双常数和抛物线扩散方程更适于赤铁矿, 而一级动力学方程更适于三羟铝石。

## 参考文献:

[1] 李学垣. 土壤化学[M]. 北京: 高等教育出版社, 2001.

Li Xue -yuan. Soil Chemistry [M]. Beijing: Higher Education Press, 2001.

- [2] 张晋京, 王 帅, 窦 森, 等. pH 对溶液中 Cu<sup>2+</sup>微观结构及 Cu<sup>2+</sup>吸附对针铁矿微观结构的影响[J]. 农业环境科学学报, 2007, 1: 277-281.
- ZHANG Jin-jing, WANG Shuai, DOU Sen, et al. Effects of pH on microscopic structure of Cu(II) in copper nitrate solution and effects of Cu(II) adsorption on microscopic structure of goethite[J]. *Journal of Agro-Environment Science*, 2007, 1: 277-281.
- [3] 高美媛. 重金属离子在不同锰氧化物/水界面上的吸附行为研究[D]. 石家庄: 河北师范大学, 2006.
- GAO Mei-yuan. The Adsorption-Desorption Behavior of Heavy Metal at Manganese-oxides/water Interfaces[D]. Shijiazhuang: Hebei Normal University, 2006.
- [4] 邹卫华, 刘晨湘, 江 利, 等. 二氧化锰对铜、铅离子的吸附研究[J]. 郑州大学学报(工学版), 2005, 26(3): 15-19.
- ZOU Wei-hua, LIU Chen-xiang, JIANG Li, et al. Single and binary component adsorption of copper cation and lead cation from aqueous solutions using fresh δ-MnO<sub>2</sub> [J]. *Journal of Zhengzhou University (Engineering Science)*, 2005, 26(3): 15-19.
- [5] 李贤良. Zn、Cu 在 δ-MnO<sub>2</sub> 和水锰矿表面的吸附-解吸机理研究[D]. 北京: 中国科学院生态环境研究中心, 2004.
- LI Xian-liang. Studies on Adsorption-Desorption Mechanism of Zn, Cu on δ-MnO<sub>2</sub> and γ-MnOOH Surface [D]. Beijing: Research Center for Eco-Environmental Sciences, Chinese Academy of Sciences, 2004.
- [6] 林素华, 高希江-陈, 程奇森, 等. An EX-FAS study of the structures of copper and phosphate sorbed onto goethite [J]. *Colloids and Surfaces A: Physicochemical and Engineering Aspects*, 2004, 234: 71-75.
- [7] Peacock C L, Sherman D M. Copper (II) sorption onto goethite, hematite and lepidocrocite: a surface complexation model based on ab initio molecular geometries and EXAFS spectroscopy [J]. *Geochimica et Cosmochimica Acta*, 2004, 68: 2623-2637.
- [8] 林玉锁. 三种氧化铁样品吸持铜离子性能的研究[J]. 土壤学报, 1996, 33(1): 111-112.
- LIN Yu-suo. Study on copper sorption by three ferric oxides [J]. *Acta Pedologica Sinica*, 1996, 33(1): 111-112.
- [9] Jung J, Cho Y-H, Hahn P. Comparative study of Cu<sup>2+</sup> adsorption on goethite, hematite and kaolinite: mechanistic modeling approach [J]. *Bulletin of the Korean Chemical Society*, 1998, 19: 324-327.
- [10] Atkinson R J, Posner A M, Quirk J J P. Adsorption of potential-determining ions at the ferric oxide-aqueous electrolyte [J]. *J Phys Chem*, 1967, 71: 550-558.
- [11] Poulton S W, Krom M D, Raiswell R. A revised scheme for the reactivity of iron (oxyhydr) oxide minerals towards dissolved sulfide[J]. *Geochimica et Cosmochimica Acta*, 2004, 68: 3703-3715.
- [12] 赵振华, 黄巧云, 李学垣, 等. 磷酸盐对土壤胶体和矿物表面吸附酸性磷酸酶的影响[J]. 土壤学报, 2003, 40(3): 353-359.
- ZHAO Zhen-hua, HUANG Qiao-yun, LI Xue-yuan, et al. Effect of phosphate on adsorption of acid phosphatase to the surface of soil colloids and minerals[J]. *Acta Pedologica Sinica*, 2003, 40(3): 353-359.
- [13] 程东升, 朱端卫, 刘武定. 几种常见矿物与硼作用的红外光谱特性研究[J]. 土壤学报, 2002, 39(5): 671-678.
- CHENG Dong-sheng, ZHU Duan-wei, LIU Wu-ding. Infrared spectral characteristics of reaction of boron with several minerals [J]. *Acta Pedologica Sinica*, 2002, 39(5): 671-678.
- [14] 孟昭福, 张一平. 有机修饰改性土对镉离子的吸附及温度效应[J]. 土壤学报, 2005, 42(2): 238-246.
- MENG Zhao-fu, ZHANG Yi-ping. Cd<sup>2+</sup> adsorption of organic modified soils and its temperature effect[J]. *Acta Pedologica Sinica*, 2005, 42(2): 238-246.
- [15] 冯雄汉. 几种常见氧化锰矿物的合成、转化及表面化学性质[D]. 武汉: 华中农业大学, 2003.
- FENG Xiong-han. Syntheses, Transformations and Surface Chemistry Characteristics of the Common Manganese Oxide Minerals in Soils[D]. Wuhan: Huazhong Agricultural University, 2003.
- [16] 周代华, 徐凤琳, 董元彦, 等. 氧化物表面重金属专性吸附实验区分的有关问题—兼论陪补阴离子效应 [J]. 科学通报, 1996, 41(16): 1523-1526.
- ZHOU Dai-hua, XU Feng-lin, DONG Yuan-yan, et al. Some problems relating to characterizing specific adsorption of heavy-metal ions on surface of oxide—effect of accompanying anions [J]. *Chinese Science Bulletin*, 1996, 41(16): 1523-1526.
- [17] Bochata L, Persson P, Lovgren L, et al. XAFS study of Cu (II) at the water-goethite ( $\alpha$ -FeOOH) interface [J]. *Journal of Phys IV France*, 1997, 7: 819-820 (Colloque C2).
- [18] Trivedi P, Axe L, Dyer J. Adsorption of metal ions onto goethite: single-adsorbate and competitive systems [J]. *Colloids and Surfaces A: Physicochemical and Engineering Aspects*, 2001, 191: 107-121.
- [19] Huang Y H, Hsueh C L, Cheng H P, et al. Thermodynamics and kinetics of adsorption of Cu (II) onto waste iron oxide [J]. *Journal of Hazardous Materials*, 2007, 144: 406-411.
- [20] 张增强, 张一平, 朱兆华. 镉在土壤中吸持的动力学研究[J]. 环境科学学报, 2000, 20(3): 370-375.
- ZHANG Zeng-qiang, ZHANG Yi-ping, ZHU Zhao-hua. Study on the characteristics of kinetic of cadmium retention on soils[J]. *Acta Scientiae Circumstantiae*, 2000, 20(3): 370-375.
- [21] 徐明岗, 张一平, 孙本华. 土壤磷扩散规律及其能量特征的研究Ⅲ. 土壤磷扩散的动力学及能量特征[J]. 土壤学报, 1998, 35(2): 202-209.
- XU Ming-gang, ZHANG Yi-ping, SUN Ben-hua. Diffusion of phosphate in soils Ⅲ. kinetics and energy characteristics[J]. *Acta Pedologica Sinica*, 1998, 35(2): 202-209.
- [22] Scheckel K G, Sparks D L. Temperature effects on nickel sorption kinetics at the mineral-water interface [J]. *Soil Science Society of America Journal*, 2001, 65: 719-728.
- [23] O'Reilly S E. Lead sorption efficiencies of natural and synthetic Mn and Fe-oxides [D]. Virginia: Virginia Polytechnic Institute and State University, 2002. 1-42.
- [24] Fu H, Quan X. Complexes of fulvic acid on the surface of hematite, goethite, and akaganeite: FTIR observation [J]. *Chemosphere*, 2006, 63: 403-410.
- [25] Alcacio T E. The molecular scale nature of copper (II) and arsenate bonding with goethite-humate complexes[D]. Carolina: North Carolina State University, 2001. 1-101.
- [26] Scheinost A C, Abend S, Pandya K I, et al. Kinetic controls on Cu and Pb sorption by ferrihydrite [J]. *Environment Science and Technology*, 2001, 35: 1090-1096.
- [27] Kosmulski M. pH-dependent surface charging and points of zero charge Ⅲ. Update [J]. *Journal of Colloid and Interface Science*, 2006, 298: 730-741.